

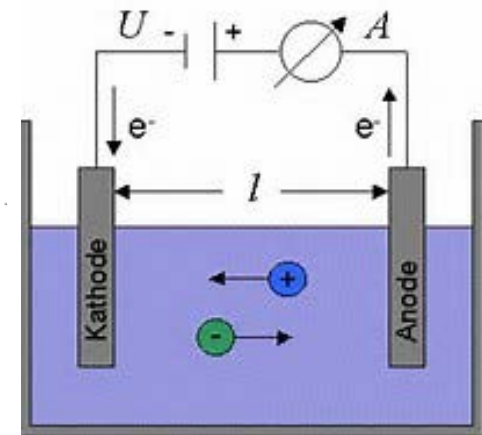
Elektrobiologie

Stand 20.11.2020

3. Elektrobiochemie

3.1 Elektrolytische Leitung

3.1.1 Grundlagen



Kathode: $2 \text{H}^+ (\text{Lösung}) + 2 \text{e}^- (\text{Metall}) \rightarrow 2 \text{H}_2 (\text{Gas})$

Anode: $2 \text{Cl}^- (\text{Lösung}) \rightarrow 2 \text{e}^- (\text{Metall}) + \text{Cl}_2 (\text{Gas})$

transportierte Ladung: $Q = I t$ (Coulomb, C, C = A s)

Faraday-Konstante: $F = 96\,500 \text{ C mol}^{-1} = e_0 \text{ L}$ Elementarladung * Loschmidt-Zahl

Faraday-Gesetz: $Q = n z F = I t$

elektrisches Feld: $\mathfrak{E} = U / l$ $v_+ = u_+ \mathfrak{E}$ $v_- = u_- \mathfrak{E}$ u_+, u_- Ionenbeweglichkeit ($\text{cm}^2 \text{V}^{-1} \text{s}^{-1}$)

Strombeitrag der Ionen: $I_+ = e_0 n_+ A v_+$ $I_- = -e_0 n_- A v_-$ Gesamtstrom $I = I_+ + I_-$

$I = c A F (u_+ + u_-) \mathfrak{E}$ $I = \lambda A U / l$ mit $\lambda = c F (u_+ + u_-)$

λ Leitfähigkeit, Conductivity S/cm

Äquivalentleitfähigkeit: $\Lambda = \lambda / c = F (u_+ + u_-)$

3.1.2 Interionische Wechselwirkungen

Dissoziation durch thermische Molekularbewegung: $E_{\text{th}} \approx k_B T$

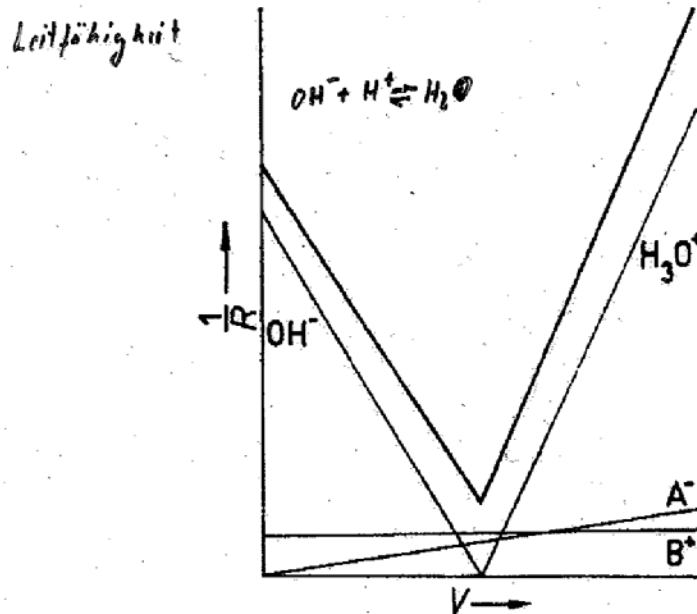
Zusammenhalt in einer „Ionenwolke“ Coulomb-Energie:

$$\Lambda(c) = \Lambda_0 - a\sqrt{c}$$

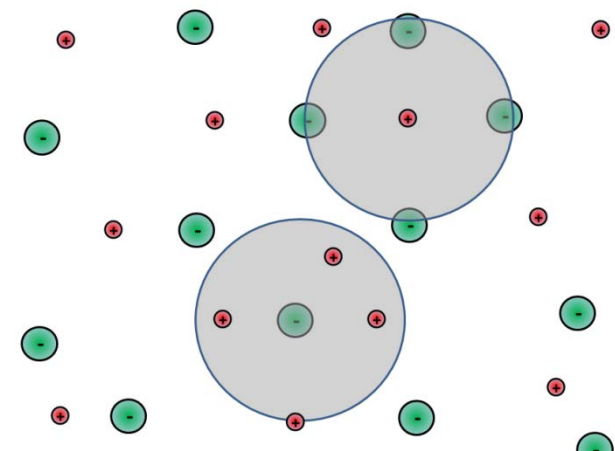
$$E_C = -\frac{q_+ q_-}{4\pi \epsilon_0 \epsilon r}$$

Kohlrausches Quadratwurzelgesetz

3.1.3 Anwendung: konduktometrische Titration



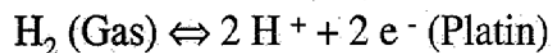
Ionenwolke



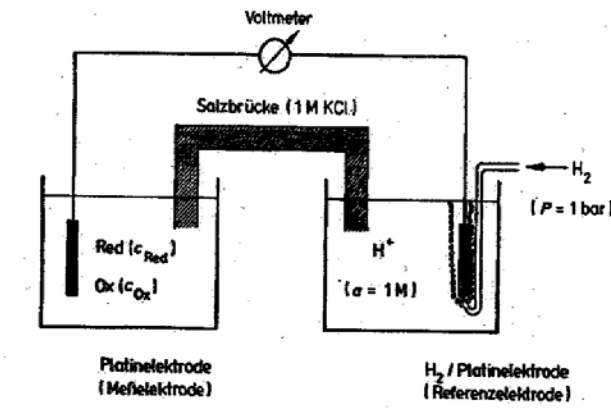
3.2 Redoxprozesse

3.2.2 Elektrochemische Zelle/ elektromotorische Kraft

Referenzelektrode: Normal-Wasserstoffelektrode ($p_{H_2} = 10^5 \text{ Pa}$, $a_{H_+} = 1$)



	Meßelektrode	Referenzelektrode
a) starkes Oxidationsmittel:	$\text{Ox} + e^- \text{ (Metall)} \rightarrow \text{Red}$	$0.5 H_2 \rightarrow H^+ + e^- \text{ (Platin)}$
b) starkes Reduktionsmittel:	$\text{Red} \rightarrow \text{Ox} + e^- \text{ (Metall)}$	$H^+ + e^- \text{ (Platin)} \rightarrow 0.5 H_2$
elektrochemische Zelle:	chem. Energie \rightarrow elektrische Energie	
elektromotorische Kraft:	Spannung bei $I \rightarrow 0$; R_I (Voltm.) $\rightarrow \infty$; $E = \phi_{\text{Meßelek.}} - \phi_{\text{Referenz}}$	
oxidierendes Red/Ox-Paar	$E > 0$	reduzierendes Red/Ox. Paar $E < 0$

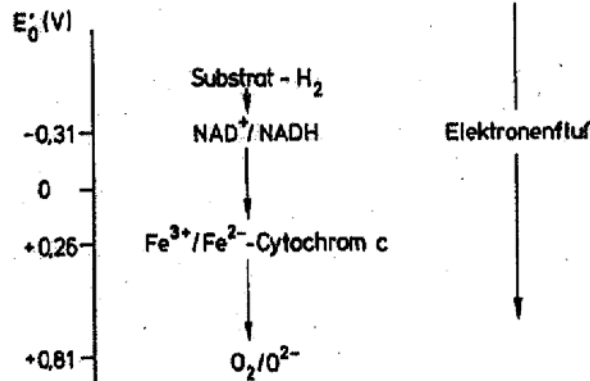


Normalwasserstoffelektrode
als Referenz unpraktisch !!!

3.2 Redoxprozesse

3.2.5 Biologische Redoxsysteme

Atmungskette, oxidative Phosphorylierung:



Photosynthetische Elektronentransportkette:

Anaerobe Atmung:

	Elektronendonor / Elektronenaceptor	Gesamtreaktion
Methanogenese	2 H ⁺ /H ₂	CO ₂ /CH ₄ CO ₂ +4 H ₂ \rightarrow CH ₄ + 2 H ₂ O
Acetogenese	2 H ⁺ /H ₂	CO ₂ /CH ₃ COOH 2 CO ₂ +4 H ₂ \rightarrow CH ₃ COOH + 2 H ₂ O
Reduktion von N-Verbindungen		NO ₃ ⁻ /N ₂
		NO ₃ ⁻ /NO ₂ ⁻

Chemolithotrophie (Energiegewinn aus Oxidation reduzierter anorganischer Verbindungen)

Kohlenmonoxid	CO/CO ₂	O ₂ /O ²⁻	CO + 1/2 O ₂ \rightarrow CO ₂
Wasserstoff	H ₂ /H ⁺	O ₂ /O ²⁻	H ₂ + 1/2 O ₂ \rightarrow H ₂ O
Sulfid	HS ⁻ /S	O ₂ /O ²⁻	H ⁺ + HS ⁻ + 1/2 O ₂ \rightarrow S + H ₂ O
Ammoniak	NH ₃ /NO ₂ ⁻	O ₂ /O ²⁻	NH ₃ + 1,5 O ₂ \rightarrow NO ₂ ⁻ + H ₂ O + H ⁺

Redox Tower

Oxidized form	Reduced form	$E'_0(V)$
${}^1\text{PS1}^*_{\text{ox}}$	$\text{PS1}^*_{\text{red}}$	-1.20
$\text{Ferrodoxin}_{\text{ox}}$	$\text{Ferrodoxin}_{\text{red}}$	-0.70
${}^2\text{P840}^*_{\text{ox}}$	$\text{P840}^*_{\text{red}}$	-0.67
Acetate	acetaldehyde	-0.60
CO_2	Glucose	-0.43
FNR_{ox}	FNR_{red}	-0.43
2H^+	H_2	-0.42
NADP^+	NADPH	-0.32
${}^2\text{PSII}^*_{\text{ox}}$	$\text{PSII}^*_{\text{red}}$	-0.30
$\text{Plastoquinone}_{\text{ox}}$	$\text{Plastoquinone}_{\text{red}}$	+0.14
Fumerate	Succinate	+0.03
Ubiquinone	Ubiquinone	+0.10
Cytochrome C	Cytochrome C	+0.25
Cytochrome B	Cytochrome B	+0.25
$\text{P840}^{\text{GS}}_{\text{ox}}$	$\text{P840}^{\text{GS}}_{\text{red}}$	+0.33
Cytochrome F	Cytochrome F	+0.37
$\text{PS1}^{\text{GS}}_{\text{ox}}$	$\text{PS1}^{\text{GS}}_{\text{red}}$	+0.37
Nitrate	Nitrite	+0.43
$\frac{1}{2}\text{O}$	H_2O	+0.82
$\text{PSII}^{\text{GS}}_{\text{ox}}$	$\text{PSII}^{\text{GS}}_{\text{red}}$	+1.10

*Excited State, after absorbing a photon of light

^{GS} Ground State, state prior to absorbing a photon of light

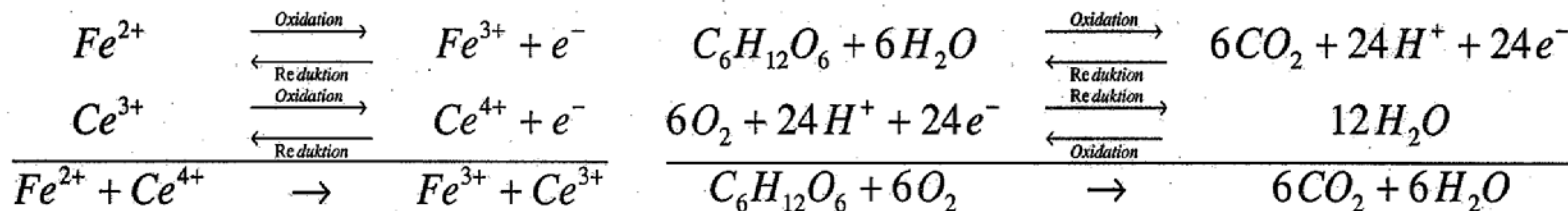
¹PS1: Oxygenic photo-system I

²P840: Bacterial reaction center containing bacteriochlorophyll (anoxygenic)

³PSII: Oxygenic phot-system II

3.2 Redoxprozesse

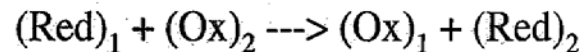
3.2.1 Prinzip



Fe²⁺, C₆H₁₂O₆ - Elektronendonator, Reduktionsmittel (Red)

Ce⁴⁺, O₂ - Elektronenakzeptor, Oxidationsmittel (Ox)

Allgemein:

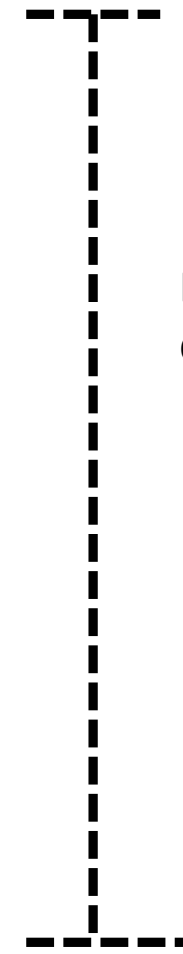


Standard Elektronenpotenziale

Standard Electrode Potentials

Reducers	Stable	Volts
Lithium	Li^+	-3.03
Potassium	K^+	-2.92
Calcium	Ca^{2+}	-2.87
Sodium	Na^+	-2.71
Magnesium	Mg^{2+}	-2.37
Aluminum	Al^{3+}	-1.66
Zinc	Zn^{2+}	-0.76
Iron (Fe)	Fe^{3+}	-0.44
Lead (Pb)	Pb^{2+}	-0.13
H_2	2H^+	0
Copper	Cu^{2+}	+0.34
Silver	Ag^+	+0.80
Mercury	Hg^{2+}	+0.85
$2\text{Cr}^{3+} + 7\text{H}_2\text{O}$	$\text{Cr}_2\text{O}_7^{2-} + 14\text{H}^+$	+1.33
2Cl^-	Cl_2	+1.36
$\text{Mn}^{2+} + 4\text{H}_2\text{O}$	$\text{MnO}_4^- + 8\text{H}^+$	+1.49
Gold	Au^{3+}	+1.52
2O^{2-}	O_2	+1.52
2F^-	F_2	+2.87
Stable	Oxidizers	

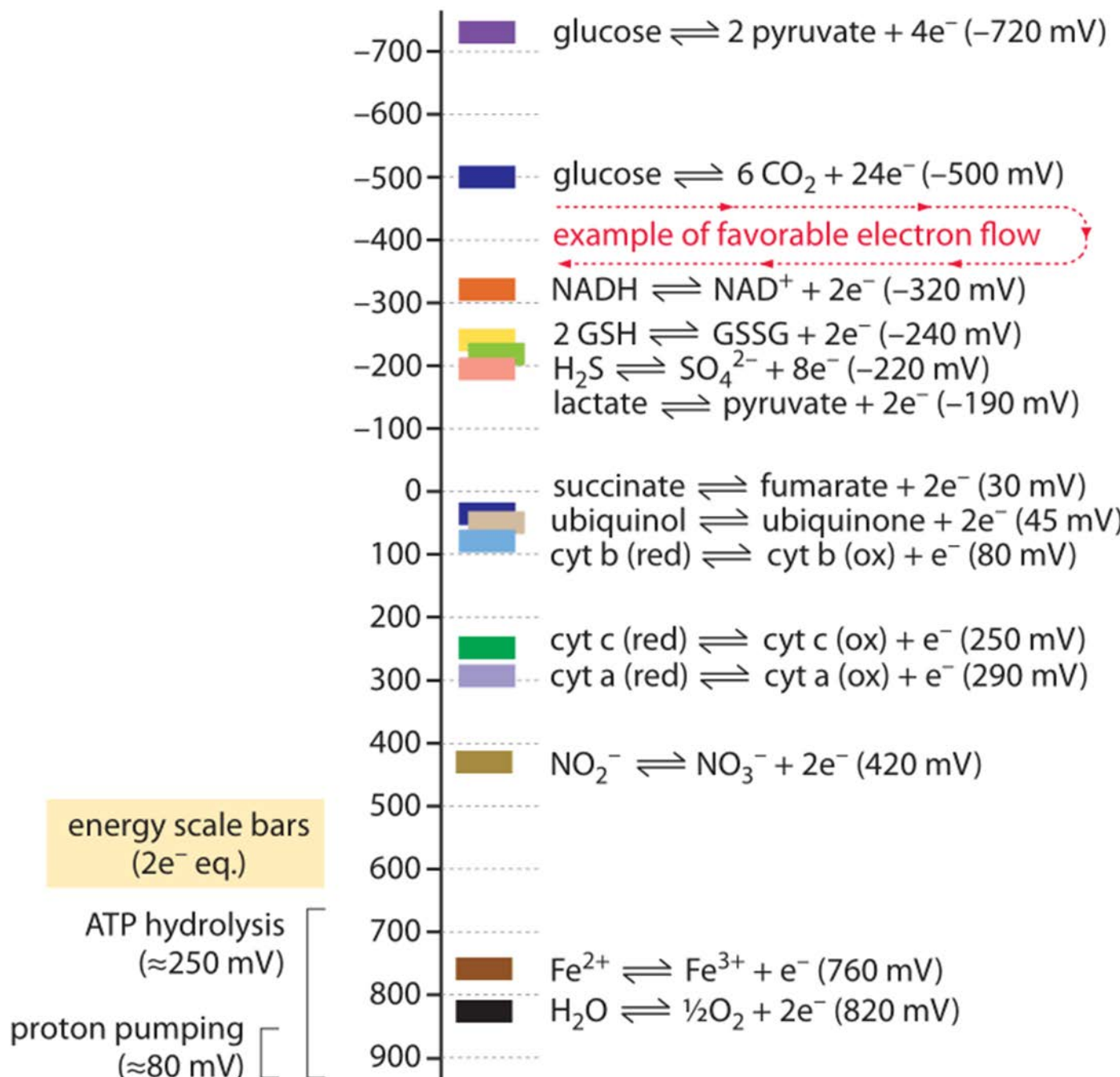
Leichter oxydierbar



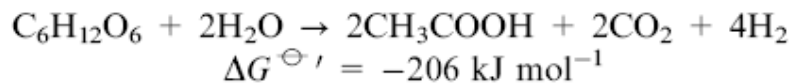
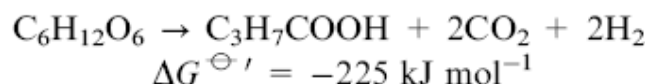
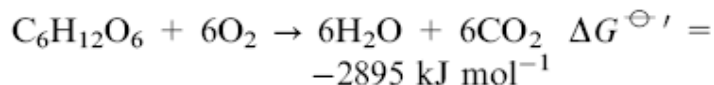
Energie-differenz

Leichter reduzierbar

standard reduction potential E° (mV)



The energy metabolism of microorganisms



$$\Delta G^{\ominus'} = n \times F \left[E^{\ominus'}(\text{donor}) - E^{\ominus'}(\text{acceptor}) \right]$$

$$\Delta G^{\ominus'} = 24 \times 96485.3 \text{ A s mol}^{-1} (-0.43 - 0.82) \text{ V}$$

$$\Delta G^{\ominus'} = -2894.55 \text{ kJ mol}^{-1}$$

$$n = 6 * 4 + 12 * 1 + 6 * -2 = \underline{\underline{24}}$$

Redox couple

	$E^{\ominus'}/\text{V}$
CO ₂ /Glucose	-0.43 ²³
CO ₂ /Formate	-0.43 ²³
2H ⁺ /H ₂	-0.42 ²³
CO ₂ /Acetate	-0.28 ²³
CO ₂ /CH ₄	-0.24 ²³
SO ₄ ²⁻ /HS ⁻	-0.22 ²³
Pyrovate/lactate	-0.19 ²³
Fumarate/succinate	+0.33 ²³
NO ₃ ⁻ /NO ₂ ⁻	+0.43 ²³
MnO ₂ /Mn ²⁺	+0.60 ²⁴
Fe ³⁺ /Fe ²⁺	+0.77 ²³
1/2O ₂ /H ₂ O	+0.82 ²³
1/2O ₂ /H ₂ O	+0.51 ^{25,26b}

^a Standard potential, measured at pH 7. ^b Effective (irreversible) potential, determined in MFC experiments (pH 7).

$$\Delta G^{\ominus'} = 24 \times 96485.3 \text{ A s mol}^{-1} (-0.43 - 0.51) \text{ V}$$

$$\Delta G^{\ominus'} = -2176.70 \text{ kJ mol}^{-1}$$

Due to:

- Side reaction at the cathode
(impurities in the electrolyte and at the electrode surface)
- Mixed potentials are formed

3.2 Redoxprozesse

3.2.4 Nernst-Gleichung, freie Enthalpie

Walther Nernst
Habilitation in Leipzig
1864 - 1941



Nernst-Gleichung

analog zu:

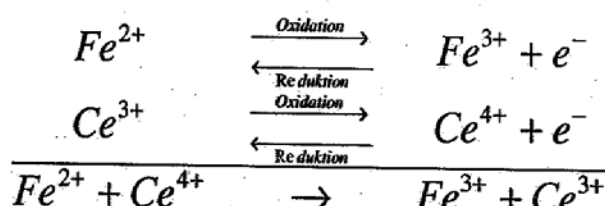
$$E = E_0 + \frac{RT}{nF} \ln\left(\frac{a_{OX}}{a_{RED}}\right) = E_0 + \frac{RT}{nF} \ln\left(\frac{C_{OX}}{C_{RED}}\right) + \frac{RT}{nF} \ln\left(\frac{\gamma_{OX}}{\gamma_{RED}}\right)$$

$$\Delta_R G = \Delta_R G^\circ + RT \ln\left(\frac{a_{OX}}{a_{RED}}\right)$$

Anwendung: Potentiometrie (ionenselektive Elektroden)

$$E = E_0 + \frac{25.7 \text{ mV}}{n} \ln\left(\frac{C_{OX}}{C_{RED}}\right) \quad (T = 298 \text{ K})$$

Konzentrationsbestimmung
konstante Ionenstärke



$$\Delta G^\circ = n F (E_{01} - E_{02})$$

Extrem wichtig, weil Verknüpfung von
Energie und Spannung

3.2 Redoxprozesse

3.2.5 wichtige Elektroden

Silber-Silberchlorid-Elektrode: ($E_0 = 222 \text{ mV bei } 25^\circ \text{C}$)

$$E = E_0 + \frac{RT}{F} \ln(a_{Ag^+}) \quad K_L = a_{Ag^+} a_{Cl^-}$$

$$E = E_0 + \frac{RT}{F} \ln(K_L) - \frac{RT}{F} \ln(a_{Cl^-}) \quad \text{mit } E^* = E_0 + \frac{RT}{F} \ln(K_L)$$

$$E = E^* - \frac{RT}{F} \ln(a_{Cl^-})$$

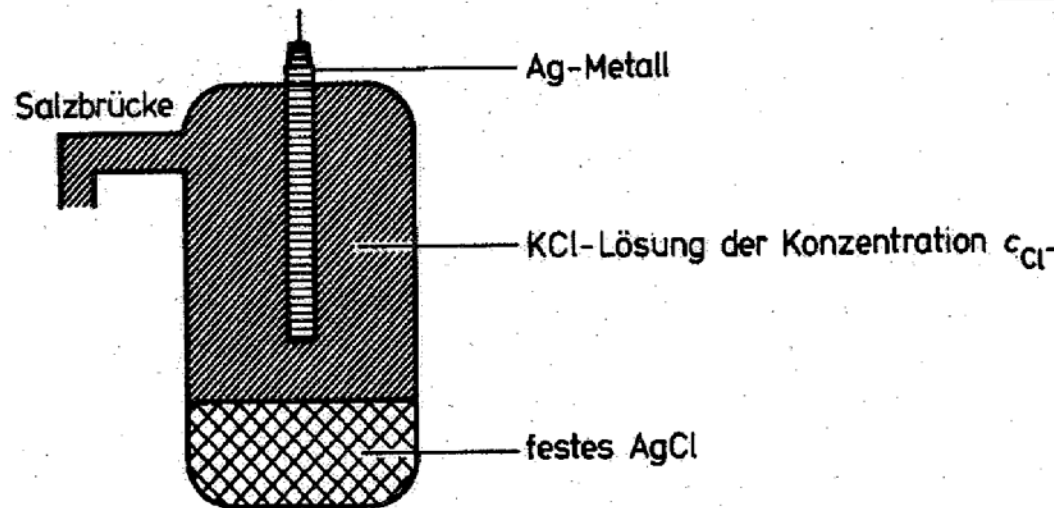
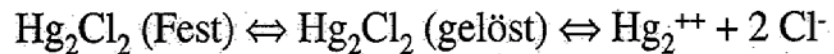


Abb. 6.12. Prinzip der Silber-Silberchlorid-Elektrode

Kalomelelektrode: analog Ag/AgCl-Elektrode (268 mV) bei 25°C

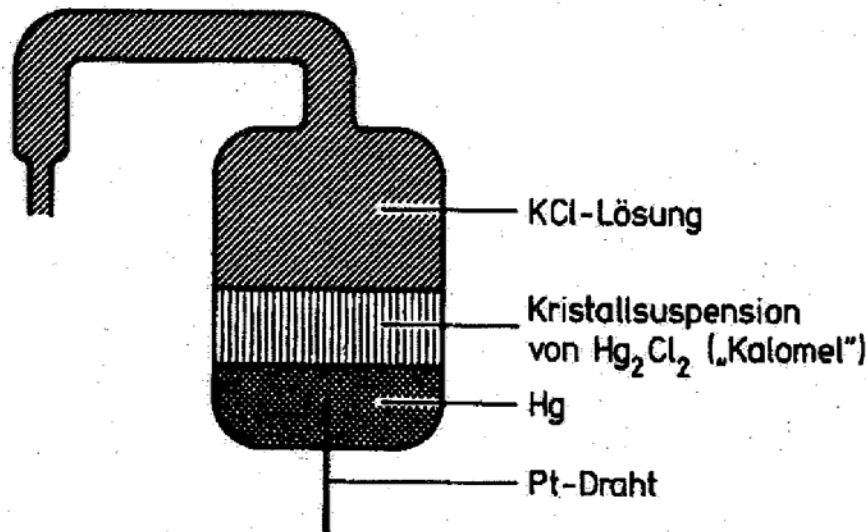


$$E = E_0 + \frac{RT}{2F} \ln(a_{\text{Hg}_2^{2+}}) \quad a_{\text{Hg}_2^{2+}} = \frac{a_{\text{Cl}^-}^2}{K_L}$$

$$E = E_0^* - \frac{RT}{F} \ln(a_{\text{Cl}^-})$$

$$\text{mit } E_0^* = E_0 + \frac{RT}{2F} \ln(K_L)$$

Salzbrücke

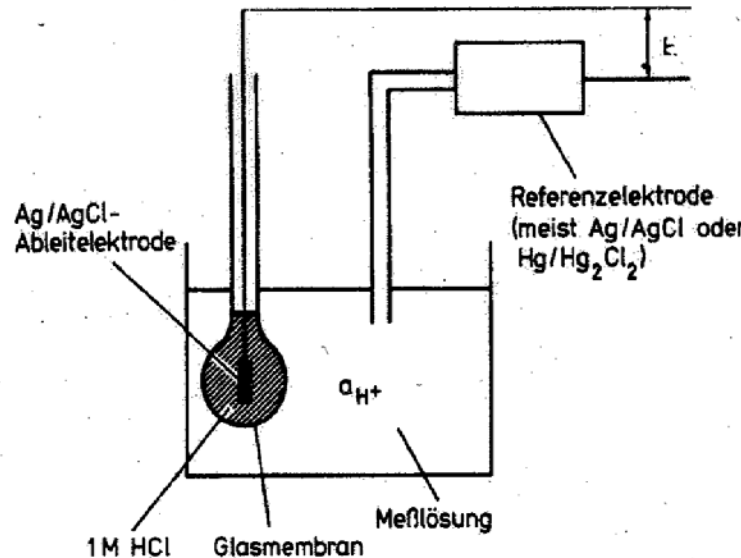


Glaselektrode:

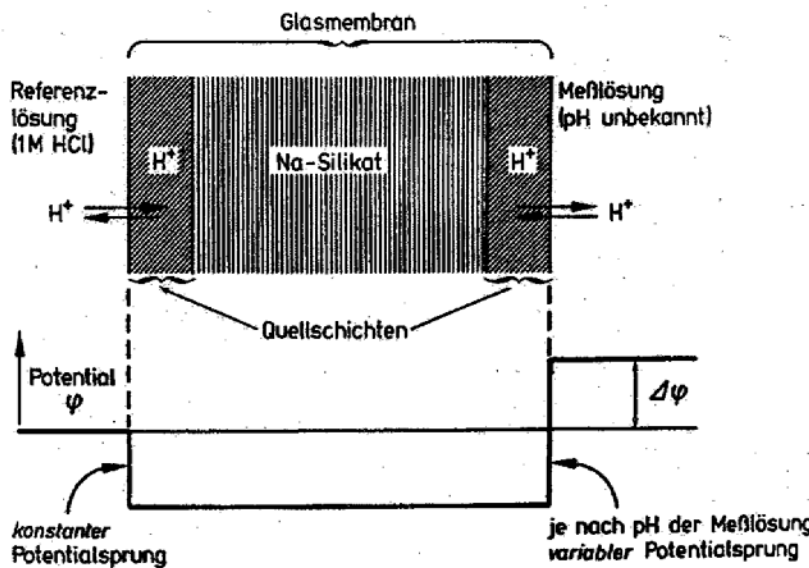
$$E = E_0^* + \frac{RT}{F} \ln(a_{H^+})$$

aus $pH = -\lg(a_{H^+})$ folgt:

$$E = E_0^* - (59.2 \text{ mV}) pH$$



Zweipunkt-Kalibration mit Puffern (Üblich pH=4.00 und pH=9.00)



Ionengleichgewichte an Membranen/ionenselektive Elektroden

Solution‘

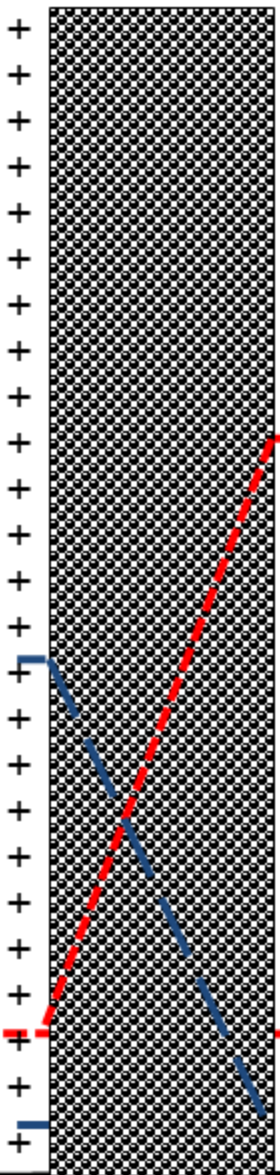
Fixierte negative
Ladung

Bewegliche positive
Ladung



$$\Delta \Psi$$

$$\Psi'$$



Solution‘‘



$$\Delta C$$

$$\Psi''$$

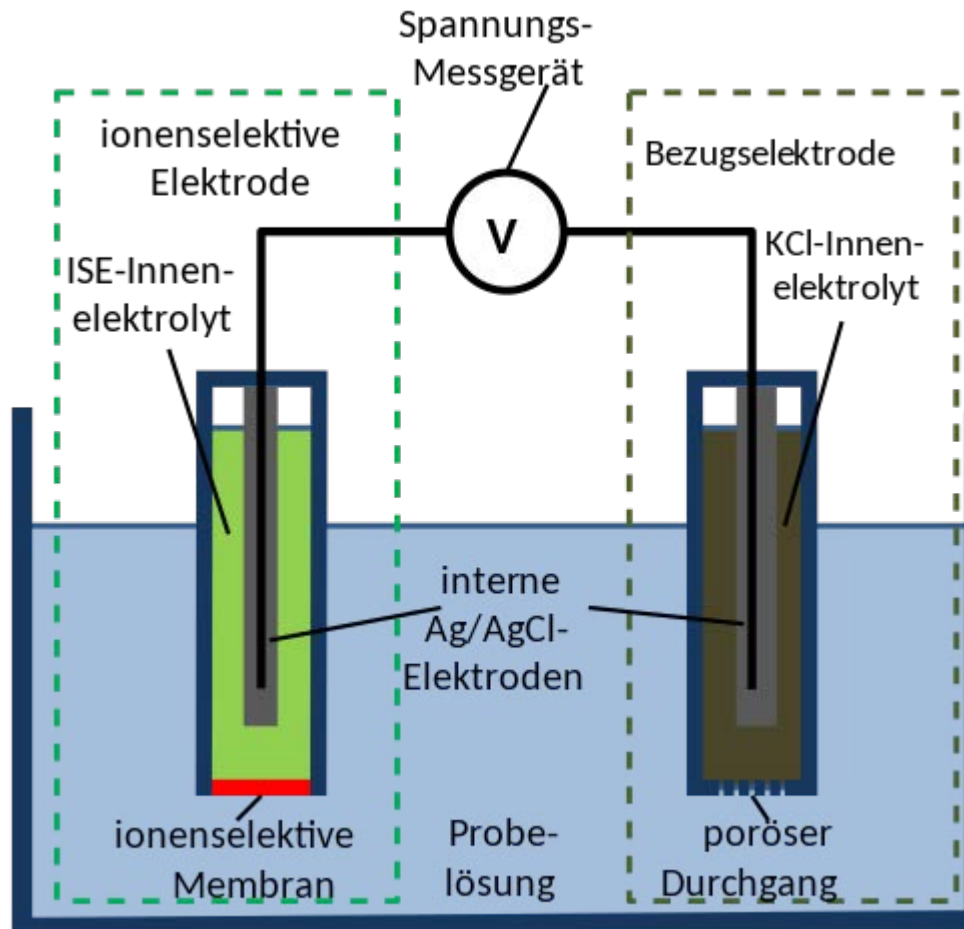
Anwendung als ionenselektive Elektrode

Anwendbar für Kationen:

H⁺
Na⁺
K⁺
Ag⁺
NH₄⁺
Cu²⁺
Pb²⁺
Ca²⁺
Cd²⁺
Ba²⁺

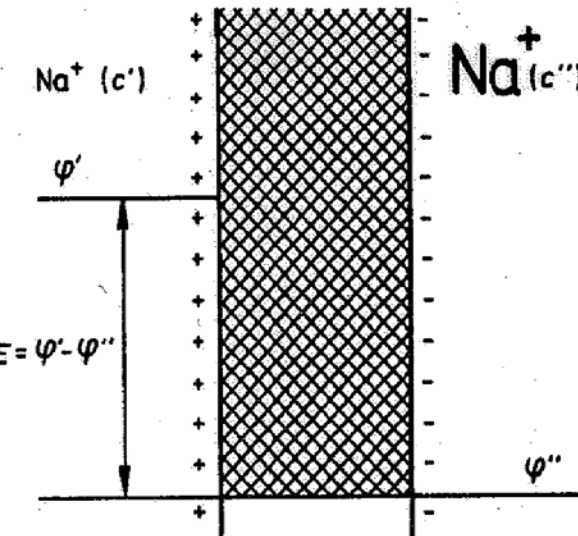
Anwendbar für Anionen:

F⁻
Cl⁻
Br⁻
I⁻
HS⁻
NO₃⁻
CN⁻
SCN⁻



3.4 Ionengleichgewichte an Membranen

Neu: das elektrochemische Potenzial



Elektrochemisches Potential und Gleichgewichtsbedingung

$$\tilde{\mu}_i = \mu_i + z_i F \varphi = \mu_i^0 + RT \ln(a_i) + z_i F \varphi \quad \text{aus } \mu_i^I = \mu_i^{II} \text{ wird } \tilde{\mu}_i^I = \tilde{\mu}_i^{II}$$

$$\begin{aligned} \mu_+^I + z_i F \varphi^I &= \mu_+^{II} + z_i F \varphi^{II} \\ \mu_+^0 + RT \ln(a_+^I) + z_i F \varphi^I &= \mu_+^0 + RT \ln(a_+^{II}) + z_i F \varphi^{II} \quad E = \varphi^I - \varphi^{II} \end{aligned}$$

$$E = \varphi^I - \varphi^{II} = \frac{RT}{zF} \ln \left(\frac{a_+^{II}}{a_+^I} \right)$$

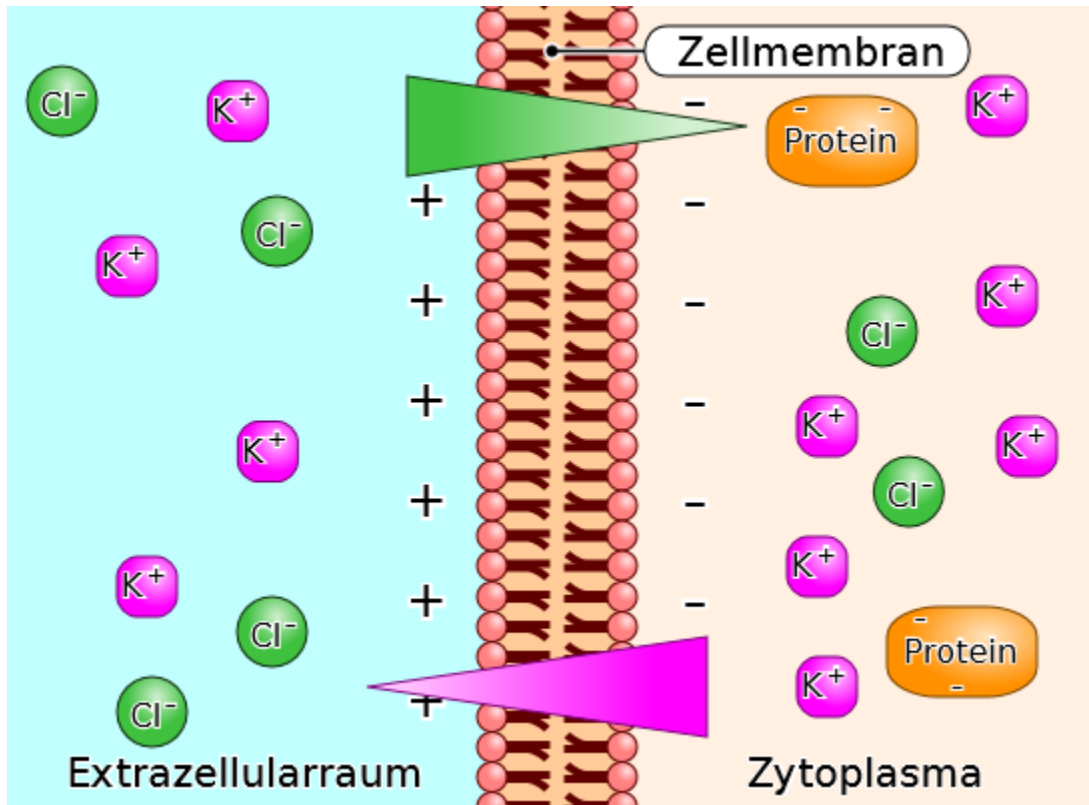
Nernst-Gleichung, Membranpotential,
Nernst-Potential

Anwendungsbeispiele – elektrochemisches Potenzial



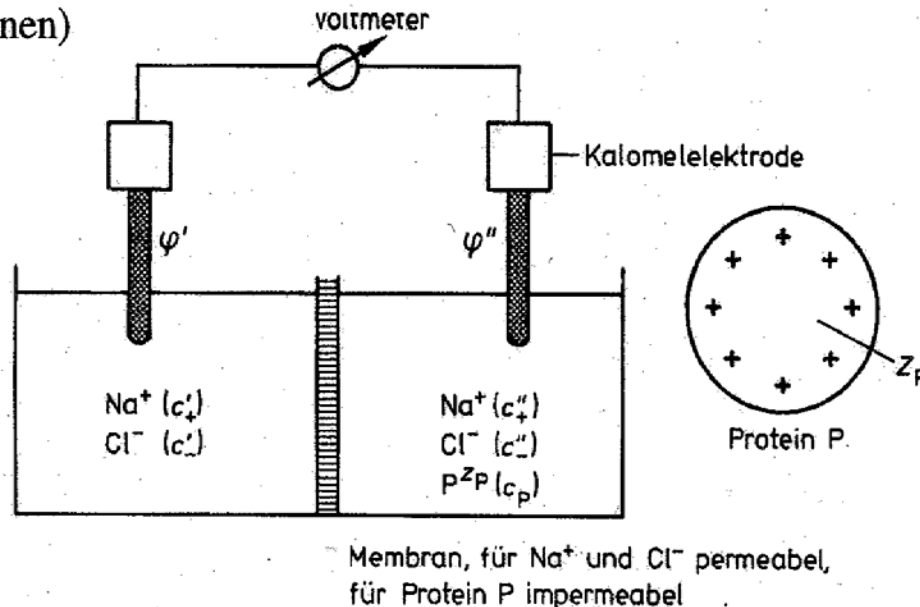
"That's all well and good, but what's the practical application for it?"

Anwendungen Donnan Gleichgewicht



Donnan-Potential: (Polyelektrolyte, z.B. Proteine basisch: $-\text{NH}_3^+$ oder sauer $-\text{COO}^-$;

Ladungszustand von Proteinen)



Grundidee: Ein Polyelektrolyt bindet Gegenionen, verändert das elektrochemische Potential

$$\begin{aligned}\tilde{\mu}_+^I &= \tilde{\mu}_+^{II} & \mu_+^0 + RT \ln(a_+^I) + F\phi^I &= \mu_+^0 + RT \ln(a_+^{II}) + F\phi^{II} \\ \tilde{\mu}_-^I &= \tilde{\mu}_-^{II} & \mu_-^0 + RT \ln(a_-^I) - F\phi^I &= \mu_-^0 + RT \ln(a_-^{II}) - F\phi^{II}\end{aligned}$$

Addition führt zu:

$$c_+^I c_-^I = c_+^{II} c_-^{II}$$

Donnan-Gleichung

Donnan-Potential: Anwendung

Seite ohne Protein (I):

$$c_+^I = c_-^I = (c^I)^2 = c_+^H \cdot c_-^H$$

$$0 = (C_+^H)^2 + C_+^H \cdot z_p \cdot C_p - (C^I)^2$$

$$\text{Konzentration der Kationen auf der Proteinseite (II): } c_+^H = \sqrt{(c^I)^2 + \left(\frac{z_p c_p}{2}\right)^2} - \frac{z_p c_p}{2}$$

$$\text{Konzentration der Anionen auf der Proteinseite (II): } c_-^H = \sqrt{(c^I)^2 + \left(\frac{z_p c_p}{2}\right)^2} + \frac{z_p c_p}{2}$$

Salzkonzentration groß $c^I \gg |z_p c_p|$

$$c_+^H \approx c^I - \frac{z_p c_p}{2}$$

$$c_-^H \approx c^I + \frac{z_p c_p}{2}$$

$$E = \varphi^I - \varphi^H = \frac{RT}{F} \ln\left(\frac{c_+^H}{c_+^I}\right) = -\frac{RT}{F} \ln\left(\frac{c_-^H}{c_-^I}\right)$$

Seite mit Protein (II):

$$c_-^H = z_p c_p + c_+^H \quad (C^I)^2 = C_+^H \cdot (C_+^H + z_p \cdot C_p)$$

$$c_+^H = \sqrt{(c^I)^2 + \left(\frac{z_p c_p}{2}\right)^2} - \frac{z_p c_p}{2}$$

$$c_-^H = \sqrt{(c^I)^2 + \left(\frac{z_p c_p}{2}\right)^2} + \frac{z_p c_p}{2}$$

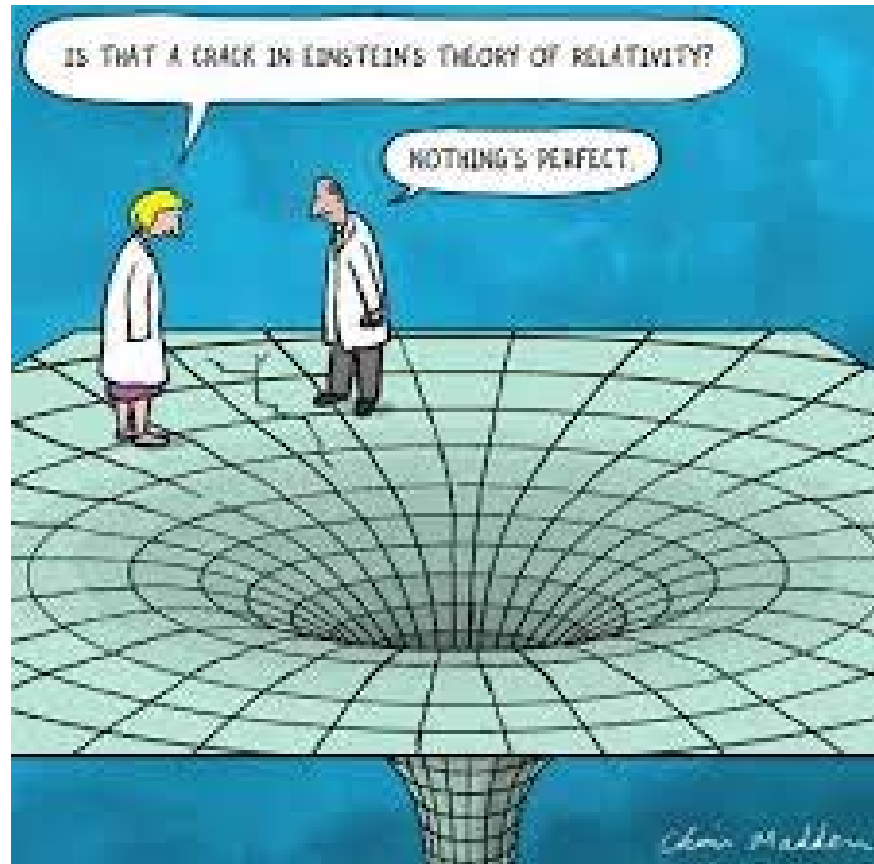
Salzkonzentration klein $c^I \ll |z_p c_p|$

$$c_+^H \approx 0$$

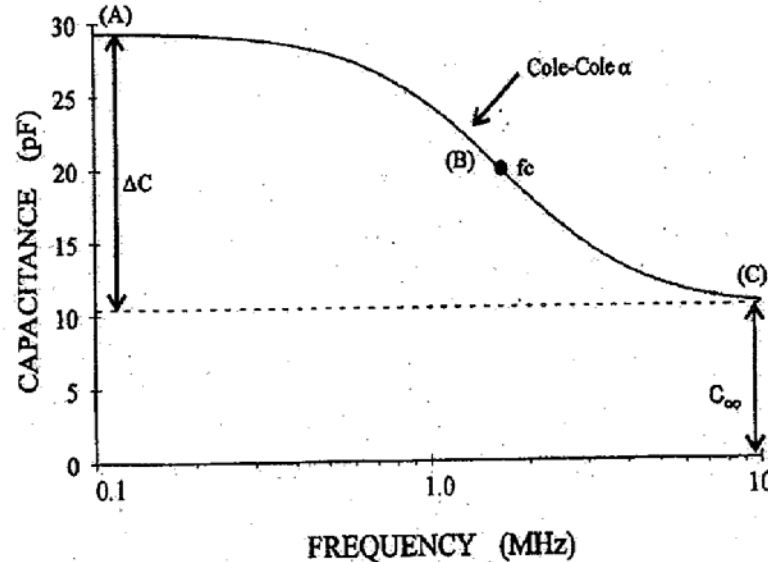
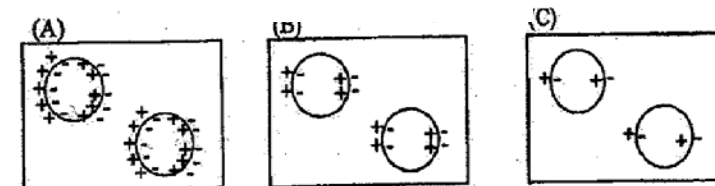
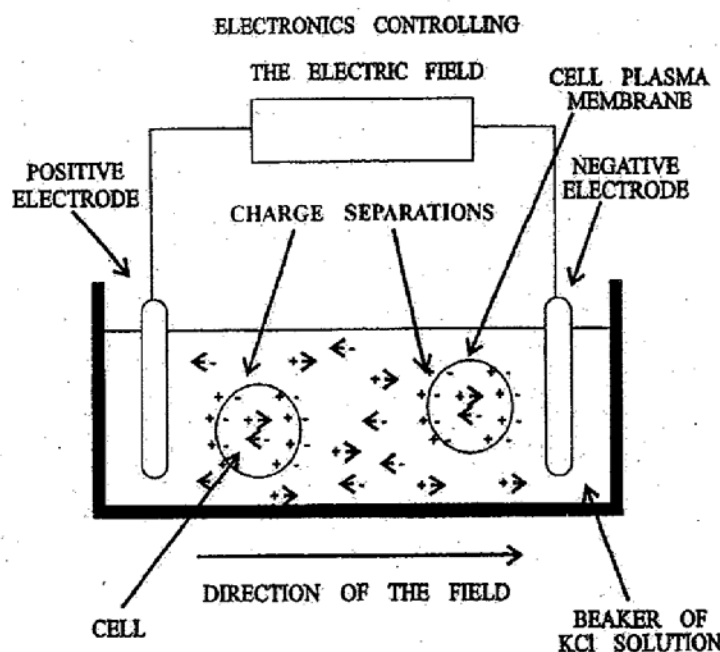
$$c_-^H = z_p c_p$$

Spannung \rightarrow Ladungszustand des Proteins

Andere wichtige Anwendungen der Elektrobiochemie



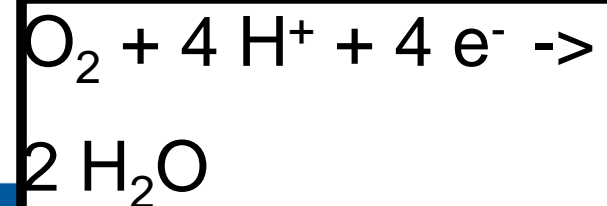
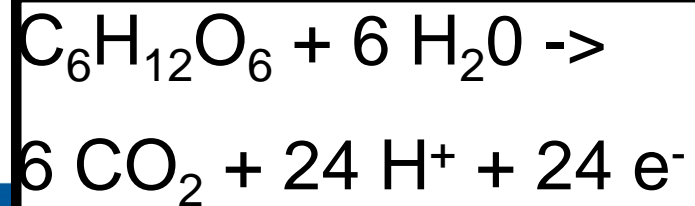
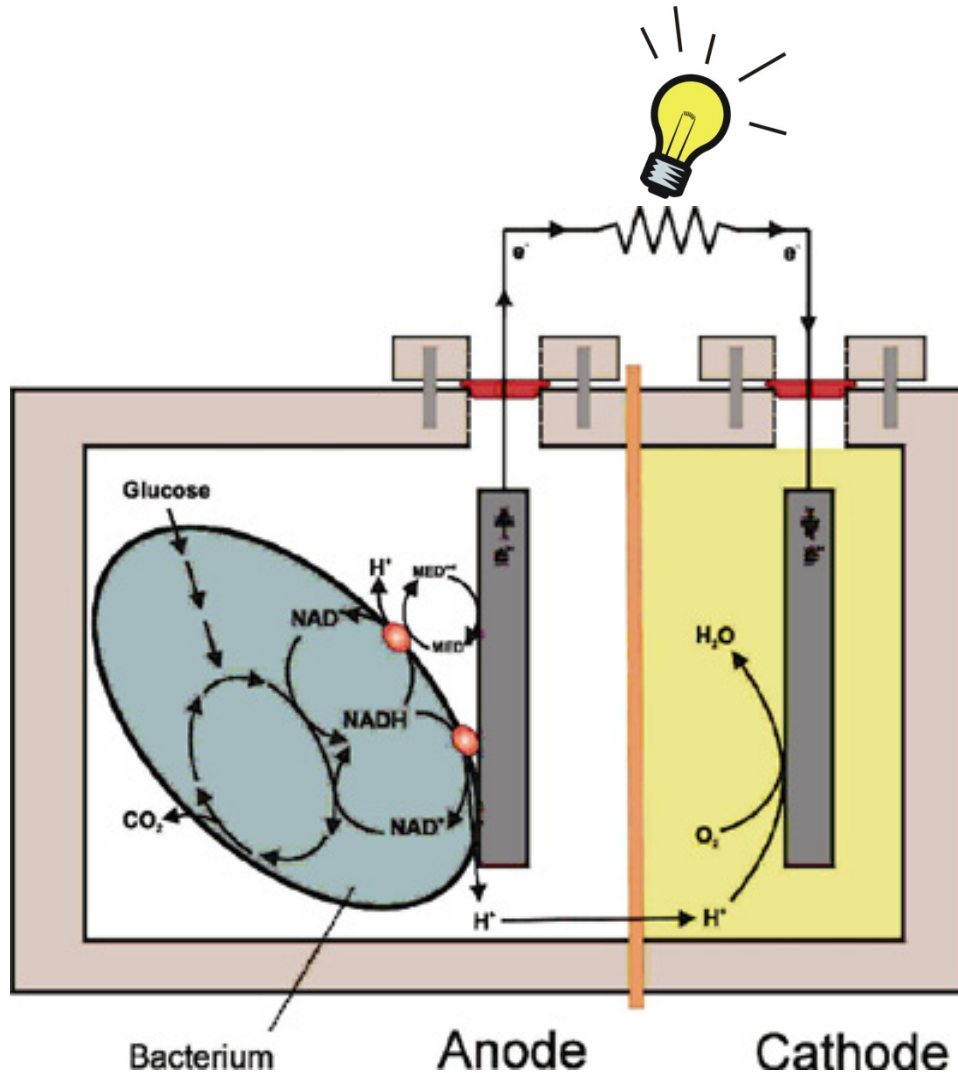
Dielektrische Spektroskopie



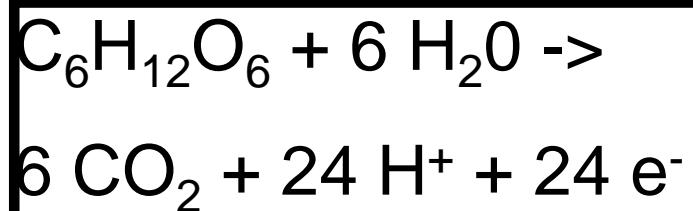
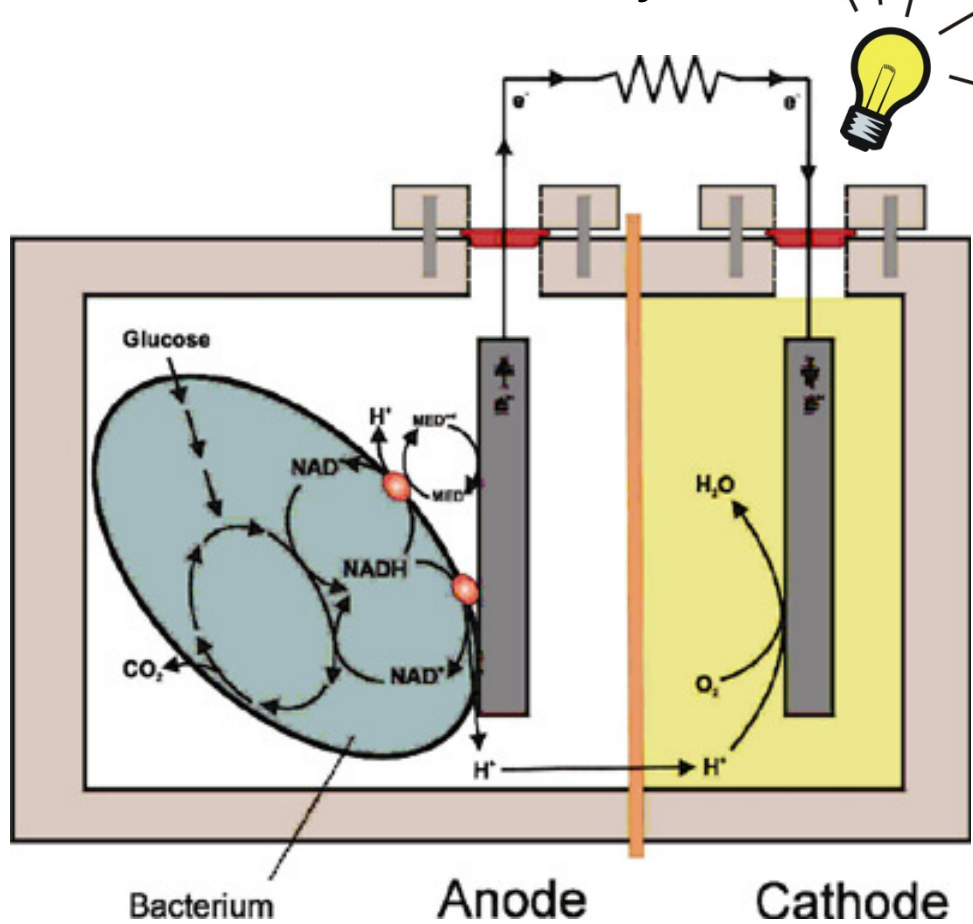
$\Delta C \sim$ intaktem Biovolumen

f_c - Info über mittlere Zellgröße

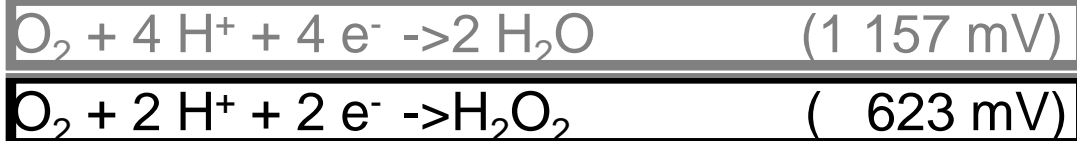
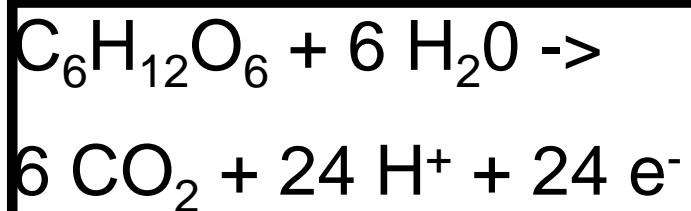
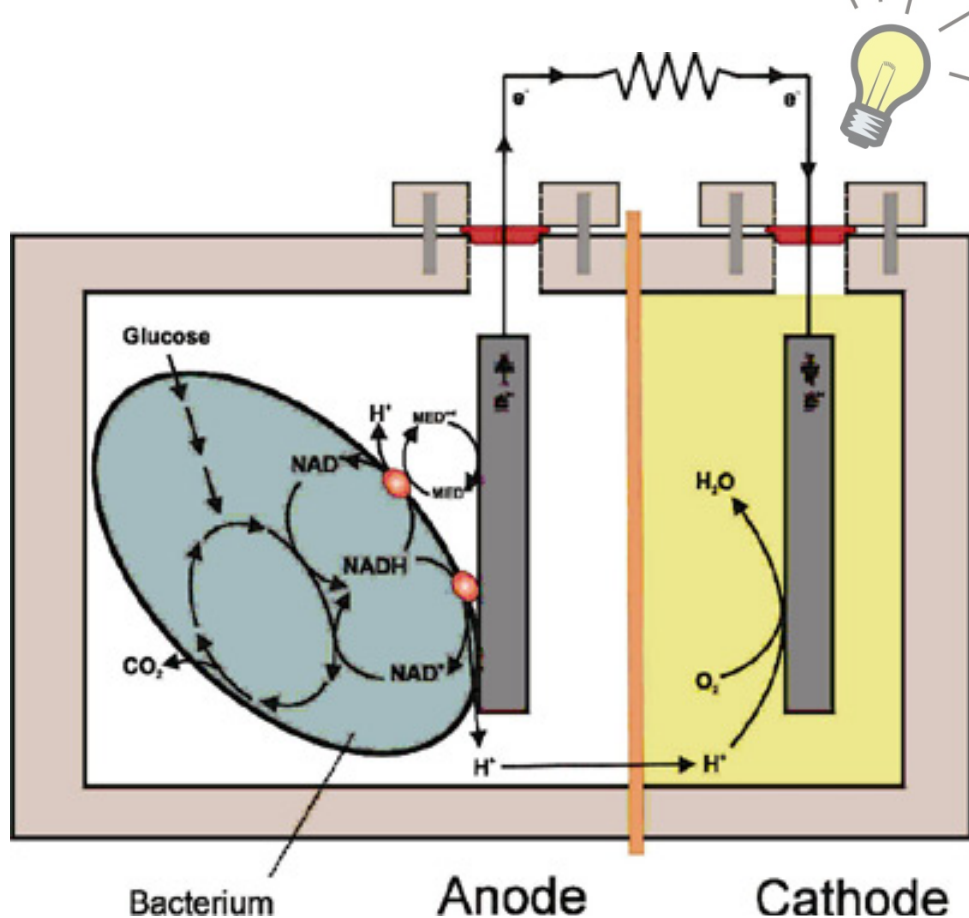
Mikrobielle Brennstoffzelle



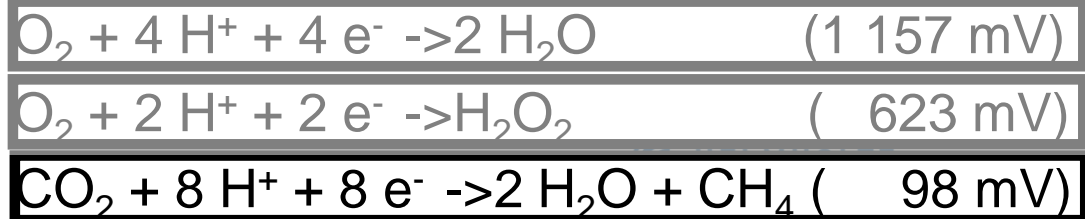
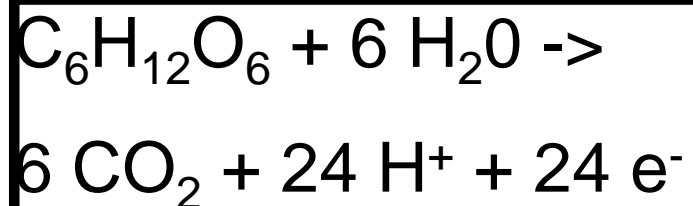
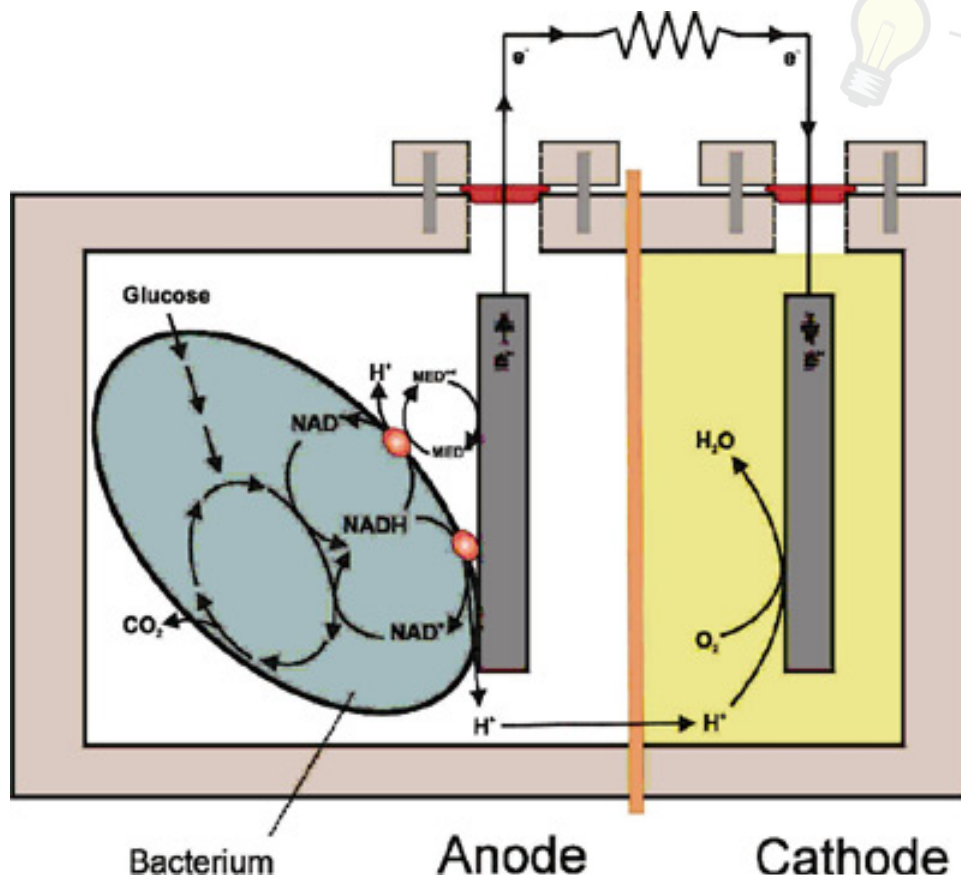
BES – Bioelectrochemical systems – für Synthesen ?



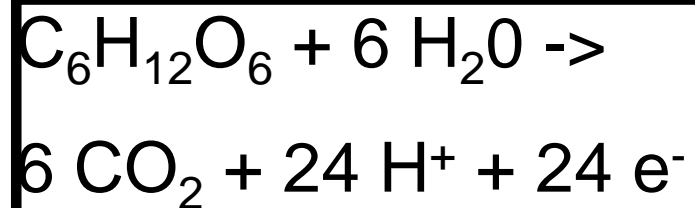
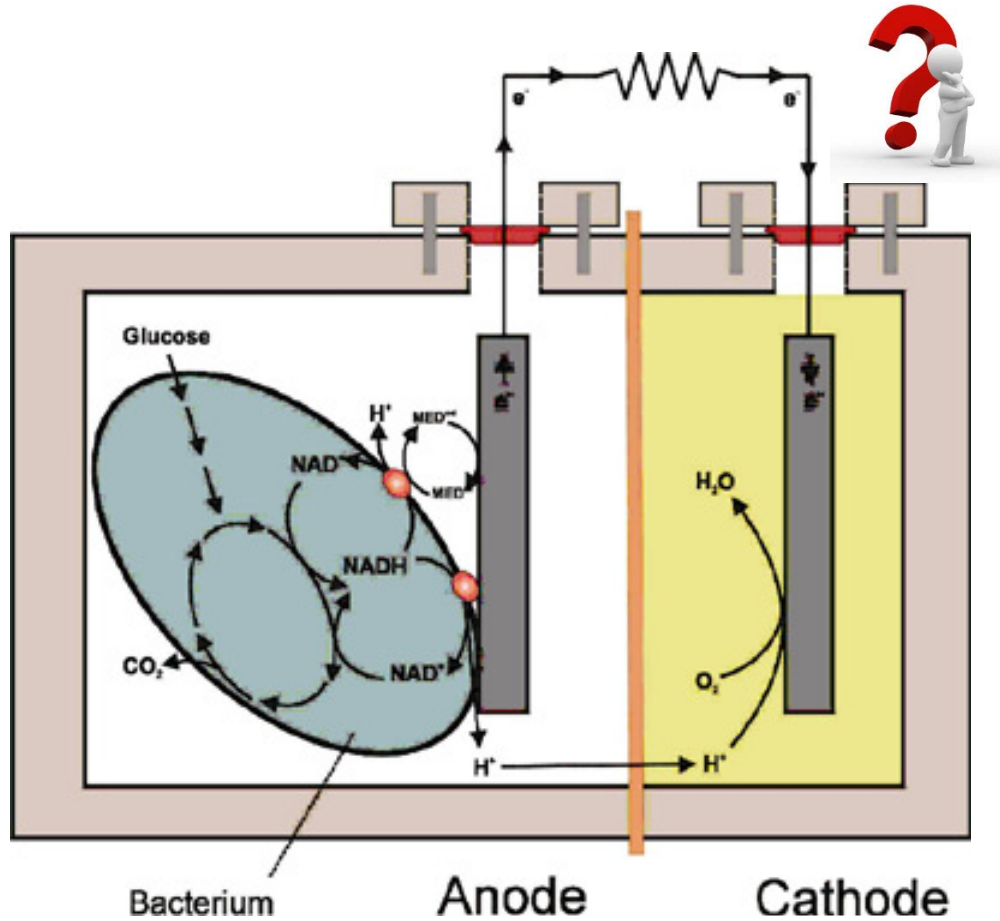
BES – Bioelectrochemical systems – für Synthesen ?



BES – Bioelectrochemical systems – für Synthesen ?

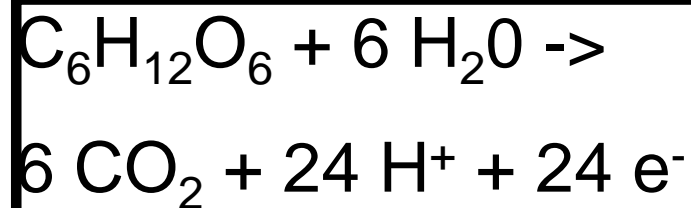
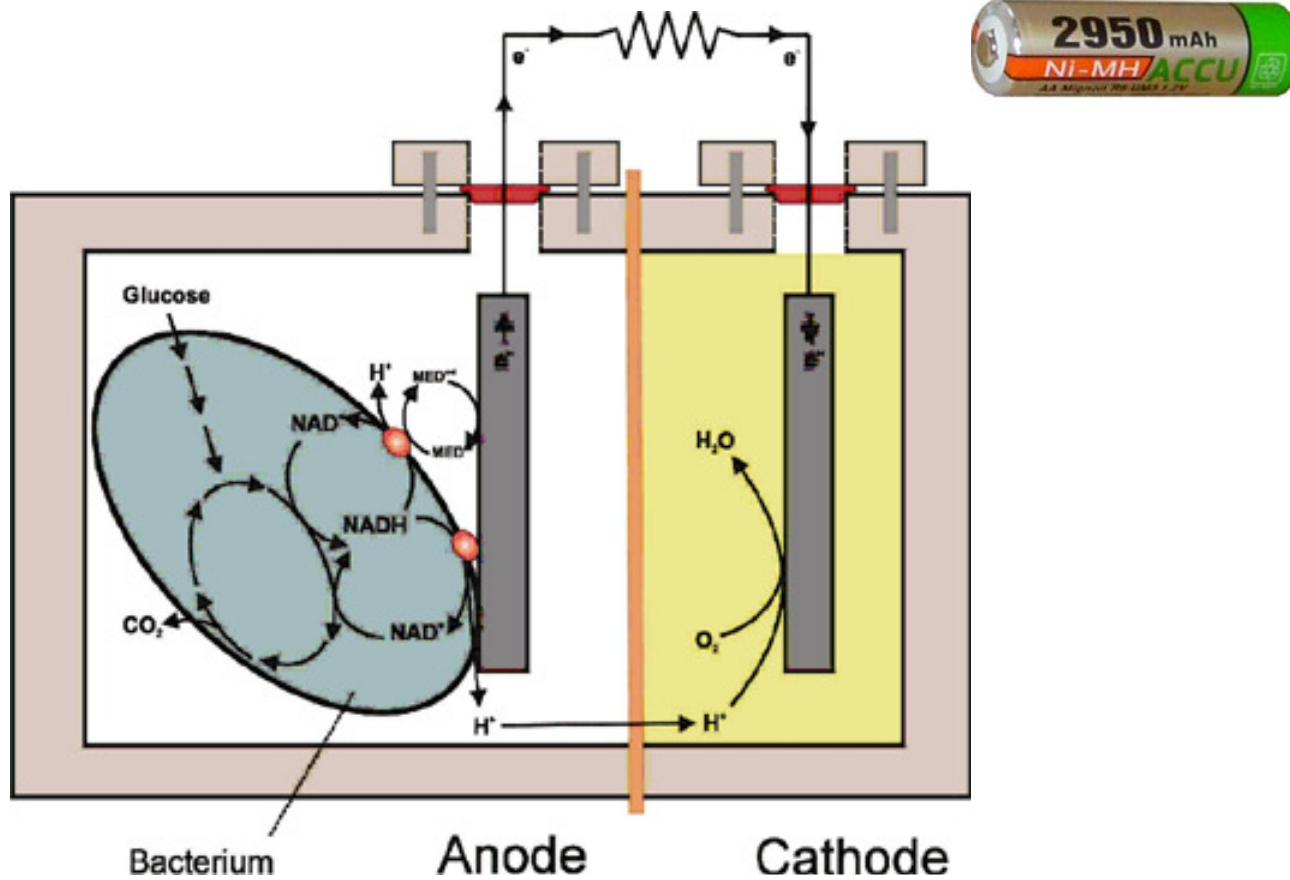


BES – Bioelectrochemical systems – für Synthesen ?

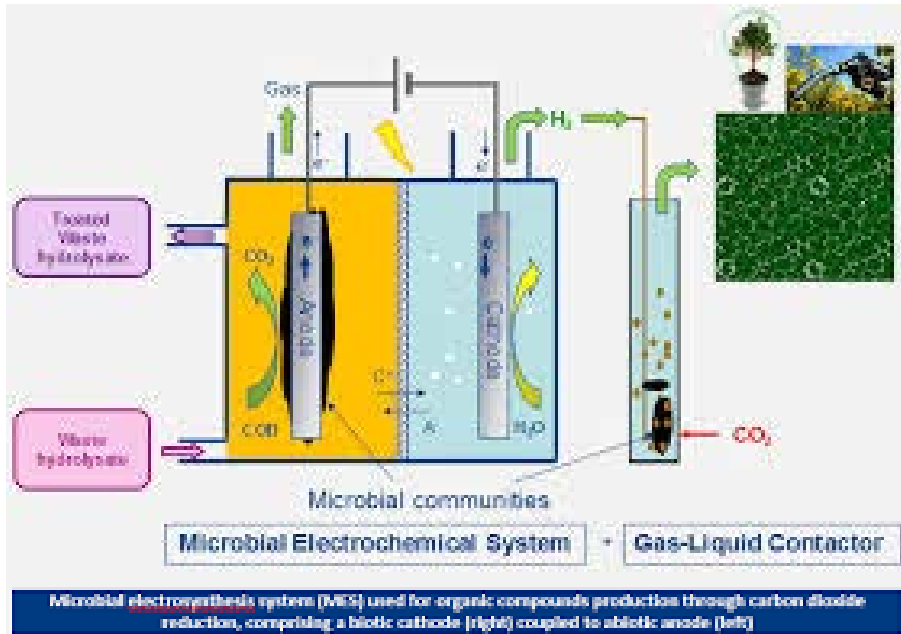


O ₂ + 4 H ⁺ + 4 e ⁻ → 2 H ₂ O	(1 157 mV)
O ₂ + 2 H ⁺ + 2 e ⁻ → H ₂ O ₂	(- 623 mV)
CO ₂ + 8 H ⁺ + 8 e ⁻ → 2 H ₂ O + CH ₄	(- 98 mV)
2 H ⁺ + 2 e ⁻ → H ₂	(- 76 mV)

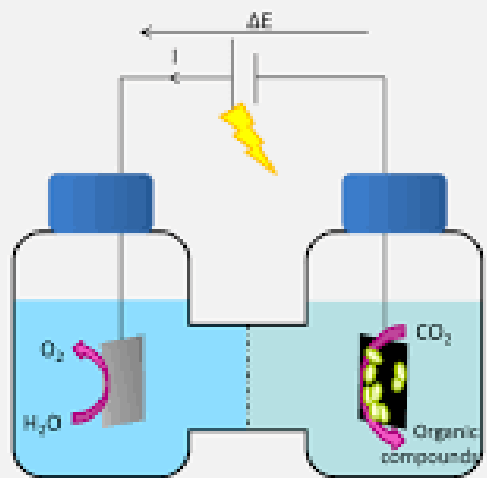
BES – Bioelectrochemical systems – für Synthesen ?



For instance ... to fix CO₂



indirekt



direkt

Danke für die Aufmerksamkeit

